

Федеральное государственное автономное образовательное
учреждение высшего образования

САНКТ-ПЕТЕРБУРГСКИЙ НАЦИОНАЛЬНЫЙ
ИССЛЕДОВАТЕЛЬСКИЙ УНИВЕРСИТЕТ ИТМО

Факультет систем управления и робототехники

Лабораторная работа №1

РЯДЫ ФУРЬЕ

Студент: Овчинников П.А.

Поток: ЧАСТ.МЕТ. 1.3

Преподаватели: Перегудин А.А.

Пашенко А.В.

Санкт-Петербург

2024

Содержание

Задание №1. Синусы, косинусы и экспонента могут всё!	3
Квадратная волна — такую в море не встретишь	3
Считаем интегральчики...	3
А теперь кодим!	4
Созерцаем плоды трудов!	6
Время чётных функций!	7
Снова немножко кодим...	8
Рисуем графики!	8
Ты чего такой нечётный?	9
Опять кодим одну строчку	10
И снова любимся на рисунки!	10
Ты вообще с какого района, чушпан?	12
Немножко помучаем машину...	12
И что же получилось на графиках?	12
Задание №2. Комплексная функция vs. мозг читателя	14
Самое скучное — вы не разучились считать интегральчики?	15
Самое приятное — код всё делает за нас	15
Самое интересное — красивые графики!	17
Подводим выводы, подытоживаем итоги	18

Задание №1. Синусы, косинусы и экспонента могут всё!

Для начала немного теории. **Ряд Фурье** — это представление функции $f(x)$ в виде бесконечной суммы тригонометрических функций $\sin(x)$ и $\cos(x)$. Кроме того, путём преобразований можно получить и представление в виде e^{ix} , но об этом в следующем задании. В общем виде для периода длиной T ряд Фурье выглядит так:

$$f(x) = \sum_{n=0}^{\infty} (a_n \cos \omega_n x + b_n \sin \omega_n x) = \frac{a_0}{2} + \sum_{n=1}^{\infty} (a_n \cos \omega_n x + b_n \sin \omega_n x), \text{ где } \omega_n = \frac{2\pi n}{T}$$

Как мы видим, ряд зависит коэффициентов a_n и b_n , которые регулируют косинусы и синусы так, что они представляют исходную функцию $f(x)$. Сами коэффициенты вычисляются с помощью исходной функции следующим образом:

$$a_n = \frac{2}{T} \int_{x_0}^{x_0+T} f(x) \cos \omega_n x dx \Rightarrow a_0 = \frac{2}{T} \int_{x_0}^{x_0+T} f(x) dx$$

$$b_n = \frac{2}{T} \int_{x_0}^{x_0+T} f(x) \sin \omega_n x dx \quad (b_0 = 0)$$

Также стоит упомянуть про **эффект Гиббса** — колебательное поведение ряда Фурье кусочной непрерывно дифференцируемой периодической функции вокруг скачкообразного разрыва. Это поведение не устранить даже с увеличением количества членов ряда Фурье и возникает оно тогда, когда функция имеет разрыв, сходящийся к вертикальной асимптоте, то есть когда производная в точке разрыва стремится к 1.

Для выполнения задания нам предлагается построить ряд Фурье для периодической кусочной функции, для чётной и нечётной функций и для любой периодической функции, состоящей не только из прямых линий и являющейся ни чётной, ни нечётной. Начнём с кусочной функции.

Квадратная волна — такую в море не встретишь

Придумаем следующий набор чисел (единица для слабаков!):

$$\begin{bmatrix} a = 2 & b = 3 \\ t_0 = 4 & t_1 = 5 & t_2 = 7 \end{bmatrix} \Rightarrow f(t) = \begin{cases} 2, & t \in [4, 5), \\ 3, & t \in [5, 7). \end{cases}$$

Теперь построим график функции $f(t)$, которая циклично параметризуется с помощью этого набора чисел:

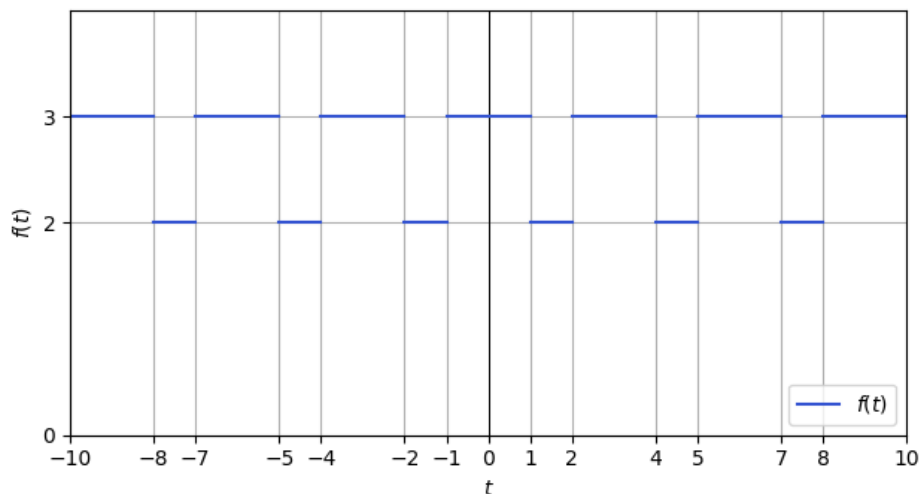


Рис. 1: График функции $f(t)$

Итак, период функции $f(t)$ равен $T = 3 \Rightarrow \omega_n = 2\pi n/3$. Пришло время найти коэффициенты Фурье для этой функции — вычислим первые три a_n , b_n и c_n ручками, а дальше за нас всё сделает машина ;)

Считаем интегральчики...

NB: Т.к. перед нами кусочная функция, то нам необходимо разложить интегралы на два: один от t_0 до t_1 , другой от t_1 до t_2 , но при этом длина T в ω_n сохраняется для обоих интегралов.

Начнём расчёты с a_n :

$$a_0 = \frac{2}{3} \left(\int_4^5 2 dt + \int_5^7 3 dt \right) = \frac{2}{3} \left(2t \Big|_4^5 + 3t \Big|_5^7 \right) = \frac{2}{3} (10 - 8 + 21 - 15) = \boxed{\frac{16}{3}}$$

$$a_1 = \frac{2}{3} \left(\int_4^5 2 \cos \frac{2\pi t}{3} dt + \int_5^7 3 \cos \frac{2\pi t}{3} dt \right) = \frac{2}{3} \left(\frac{3 \sin \frac{2\pi t}{3}}{\pi} \Big|_4^5 + \frac{9 \sin \frac{2\pi t}{3}}{2\pi} \Big|_5^7 \right) = \frac{2}{3} \left(\frac{9\sqrt{3}}{2\pi} - \frac{3\sqrt{3}}{\pi} \right) = \boxed{\frac{\sqrt{3}}{\pi}}$$

$$a_2 = \frac{2}{3} \left(\int_4^5 2 \cos \frac{4\pi t}{3} dt + \int_5^7 3 \cos \frac{4\pi t}{3} dt \right) = \frac{2}{3} \left(\frac{3 \sin \frac{4\pi t}{3}}{2\pi} \Big|_4^5 + \frac{9 \sin \frac{4\pi t}{3}}{2\pi} \Big|_5^7 \right) = \frac{2}{3} \left(\frac{3\sqrt{3}}{2\pi} - \frac{9\sqrt{3}}{4\pi} \right) = \boxed{-\frac{\sqrt{3}}{2\pi}}$$

Казалось бы, всё хорошо, но давайте найдём a_3 (это действительно важно!), при котором $\omega_3 = 2 \cdot \frac{2\pi}{3} = 2\pi$:

$$a_3 = \frac{2}{3} \left(\int_4^5 2 \cos 2\pi t dt + \int_5^7 3 \cos 2\pi t dt \right) = \frac{2}{3} \left(\frac{\sin 2\pi t}{\pi} \Big|_4^5 + \frac{3 \sin 2\pi t}{2\pi} \Big|_5^7 \right) = \boxed{0} \quad \text{т.к. } \forall t, k \in \mathbb{Z}: \sin 2k\pi t = 0$$

Становится понятно, что все коэффициенты a_n при $n : 3$ равны нулю. Теперь найдём коэффициенты b_n :

$$b_1 = \frac{2}{3} \left(\int_4^5 2 \sin \frac{2\pi t}{3} dt + \int_5^7 3 \sin \frac{2\pi t}{3} dt \right) = -\frac{2}{3} \left(\frac{3 \cos \frac{2\pi t}{3}}{\pi} \Big|_4^5 + \frac{9 \cos \frac{2\pi t}{3}}{2\pi} \Big|_5^7 \right) = \boxed{0}$$

$$b_2 = \frac{2}{3} \left(\int_4^5 2 \sin \frac{4\pi t}{3} dt + \int_5^7 3 \sin \frac{4\pi t}{3} dt \right) = \boxed{0} \quad \text{т.к. косинусы вновь взаимно уничтожат друг друга.}$$

Приходим к выводу, что все коэффициенты b_n равны нулю. В сущности это следует и из того, что функция чётная — такие функции раскладываются в ряд Фурье только по косинусам. На очереди коэффициенты c_n :

$$c_0 = \frac{1}{3} \left(\int_4^5 2 dt + \int_5^7 3 dt \right) = \frac{a_0}{2} = \boxed{\frac{8}{3}}$$

NB: Для коэффициентов c_n будет использоваться свойство $e^{2ki\pi} = 1 \forall k \in \mathbb{Z}$, связанное с кратностью $\cos 2k\pi t = 1$ и $\sin 2k\pi t = 0$.

$$c_1 = \frac{1}{3} \left(\int_4^5 2 e^{-\frac{2\pi i t}{3}} dt + \int_5^7 3 e^{-\frac{2\pi i t}{3}} dt \right) = \frac{i}{\pi} \left(e^{-\frac{10\pi i}{3}} - e^{-\frac{8\pi i}{3}} \right) + \frac{3i}{2\pi} \left(e^{-\frac{14\pi i}{3}} - e^{-\frac{10\pi i}{3}} \right) = \frac{i}{\pi} \left(e^{\frac{2\pi i}{3}} - e^{-\frac{2\pi i}{3}} \right) +$$

$$+ \frac{3i}{2\pi} \left(e^{-\frac{2\pi i}{3}} - e^{\frac{2\pi i}{3}} \right) = e^{\frac{2\pi i}{3}} \left(\frac{i}{\pi} - \frac{3i}{2\pi} \right) + e^{-\frac{2\pi i}{3}} \left(\frac{3i}{2\pi} - \frac{i}{\pi} \right) = \frac{i}{2\pi} e^{-\frac{2\pi i}{3}} - \frac{i}{2\pi} e^{\frac{2\pi i}{3}} = \boxed{\frac{i}{2\pi} \left(e^{-\frac{2\pi i}{3}} - e^{\frac{2\pi i}{3}} \right)}$$

$$c_2 = \frac{1}{3} \left(\int_4^5 2 e^{-\frac{4\pi i t}{3}} dt + \int_5^7 3 e^{-\frac{4\pi i t}{3}} dt \right) = \frac{i}{2\pi} \left(e^{-\frac{20\pi i}{3}} - e^{-\frac{16\pi i}{3}} \right) + \frac{3i}{4\pi} \left(e^{-\frac{28\pi i}{3}} - e^{-\frac{20\pi i}{3}} \right) = \frac{i}{2\pi} \left(e^{-\frac{2\pi i}{3}} - e^{\frac{2\pi i}{3}} \right) +$$

$$+ \frac{3i}{4\pi} \left(e^{\frac{2\pi i}{3}} - e^{-\frac{2\pi i}{3}} \right) = e^{\frac{2\pi i}{3}} \left(\frac{3i}{4\pi} - \frac{i}{2\pi} \right) + e^{-\frac{2\pi i}{3}} \left(\frac{i}{2\pi} - \frac{3i}{4\pi} \right) = \frac{i}{4\pi} e^{\frac{2\pi i}{3}} - \frac{i}{4\pi} e^{-\frac{2\pi i}{3}} = \boxed{-\frac{i}{4\pi} \left(e^{-\frac{2\pi i}{3}} - e^{\frac{2\pi i}{3}} \right)}$$

Хоть мы и знаем, заглядывая наперёд, что $c_3 = c_{-3} = 0$, давайте всё же проверим себя, вычислив c_3 :

$$c_3 = \frac{1}{3} \left(\int_4^5 2 e^{-2\pi i t} dt + \int_5^7 3 e^{-2\pi i t} dt \right) = \frac{i}{3\pi} \left(e^{-10\pi i} - e^{-8\pi i} \right) + \frac{i}{2\pi} \left(e^{-14\pi i} - e^{-10\pi i} \right) = \frac{i}{3\pi} \left(e^{-2\pi i} - e^{2\pi i} \right) +$$

$$+ \frac{i}{2\pi} \left(e^{2\pi i} - e^{-2\pi i} \right) = \boxed{0}$$

А теперь кодим!

Напишем программу, которая вычисляет коэффициенты Фурье самостоятельно для любого n .

```

1 from typing import Callable
2
3 import numpy as np
4
5 T = 3
6
7
8 def dot_product(f: Callable, g: Callable, a: float, b: float) -> np.ndarray:
9     """Вычисляет скалярное произведение функций f и g на отрезке [a, b]."""
10    x = np.linspace(a, b, 10000) # Генерируем точки на отрезке [a, b]
11    dx = x[1] - x[0] # Шаг интегрирования
12    return np.dot(f(x), g(x)) * dx # Возвращаем скалярное произведение
13
14
15 def f(t):
16     """Функция, для которой вычисляются коэффициенты Фурье."""
17     # В данном случае периодическая кусочная функция
18     return np.vectorize(lambda t: 2 if 0 <= (t - 1) % 3 < 1 else 3)(t)
19
20
21 def a(n: int, func: Callable = f, s: float = -T / 2, p: float = T) -> np.ndarray:
22     """Вычисляет коэффициент a_n для функции func на отрезке (s, s + p)."""
23     return 2 / p * dot_product(func, lambda t: np.cos(w(p) * n * t), s, s + p)
24
25
26 def b(n: int, func: Callable = f, s: float = -T / 2, p: float = T) -> np.ndarray:
27     """Вычисляет коэффициент b_n для функции func на отрезке (s, s + p)."""
28     return 2 / p * dot_product(func, lambda t: np.sin(w(p) * n * t), s, s + p)
29
30
31 def c(n, func: Callable = f, s: float = -T / 2, p: float = T) -> np.ndarray:
32     """Вычисляет коэффициент c_n для функции func на отрезке (s, s + p)."""
33     return 1 / p * dot_product(func, lambda t: np.exp(-1j * w(p) * n * t), s, s + p)
34
35
36 def fourier_coefficients(n: int):
37     """Вычисляет коэффициенты Фурье a_n, b_n и c_n для функции f с периодом T."""
38     return a(n).round(3), b(n).round(3), c(n).round(3), c(-n).round(3)
39
40
41 # Задаем период функции и порядковый номер коэффициента
42 print('Оставьте поле ввода пустым, и программа выведет первые 6 коэффициентов Фурье, начиная с 0.')
43 coef_num = int(data) if (data := input('Введите порядковый номер коэффициента: ')) else None
44 w = lambda period: 2 * np.pi / period
45
46 # Выводим коэффициенты Фурье (либо первые 6, либо введенный пользователем)
47 for n in range(coef_num or 0, (coef_num or 5) + 1):
48     a_n, b_n, c_n, c_mn = fourier_coefficients(n)
49     print(f'a_{n} = {a_n},\tb_{n} = {b_n},\tc_{n} = {c_n}   c_{-n} = {c_mn}')

```

Листинг 1: Вычисление коэффициентов Фурье для кусочной функции

Итак, программа выведет нам первые шесть коэффициентов Фурье для функции $f(t)$, среди которых есть и необходимые по заданию a_3 , b_3 и c_3 — хотя они всё равно равны нулю, чего тут смотреть :)

```

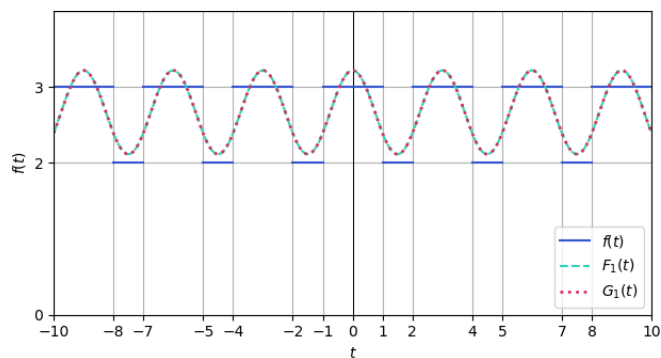
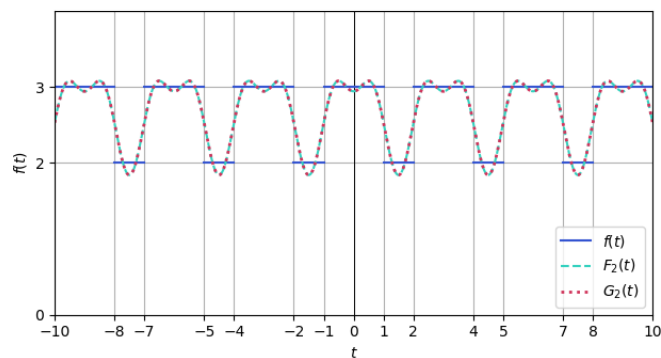
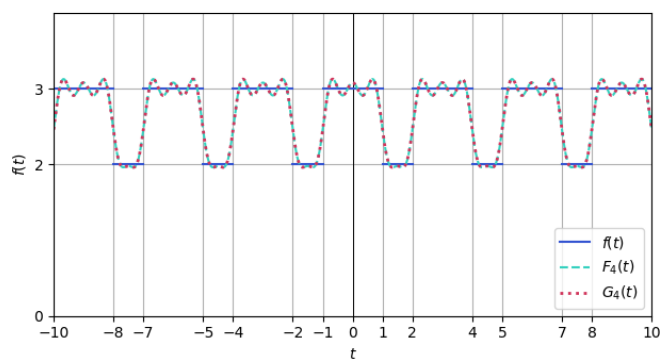
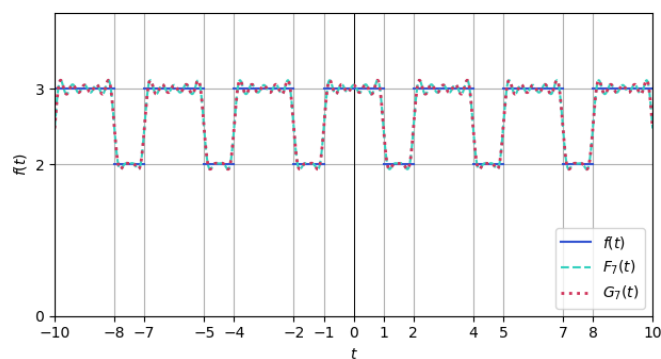
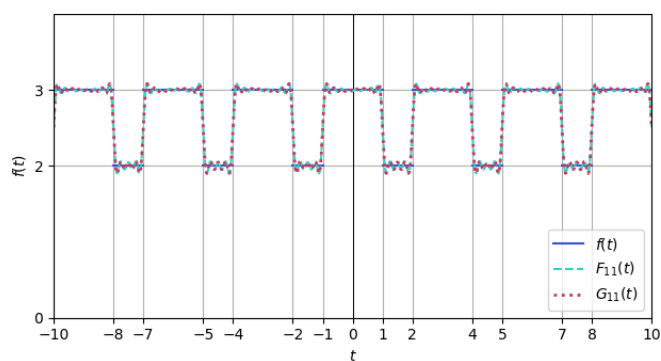
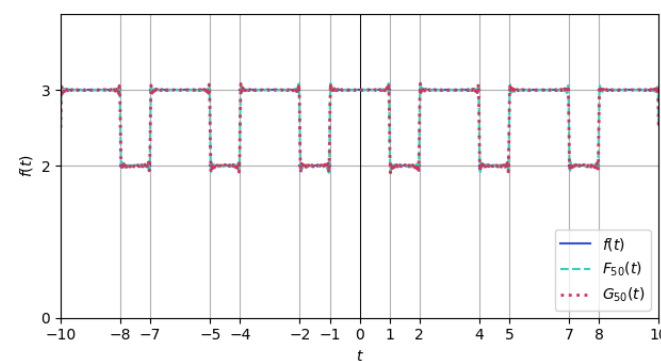
1 a_0 = 5.334,      b_0 = 0.0,      c_0 = (2.667+0j)   c_-0 = (2.667+0j)
2 a_1 = 0.551,      b_1 = 0.0,      c_1 = (0.275-0j)   c_-1 = (0.275+0j)
3 a_2 = -0.275,     b_2 = -0.0,     c_2 = (-0.138+0j)  c_-2 = (-0.138-0j)
4 a_3 = -0.0,       b_3 = 0.0,      c_3 = (-0-0j)     c_-3 = (-0+0j)
5 a_4 = 0.138,      b_4 = 0.0,      c_4 = (0.069-0j)   c_-4 = (0.069+0j)
6 a_5 = -0.111,     b_5 = -0.0,     c_5 = (-0.055+0j)  c_-5 = (-0.055-0j)

```

Листинг 2: Вывод программы

Созерцаем плоды трудов!

Воспользуемся этими коэффициентами для построения графиков тригонометрического F_n и экспоненциального G_n рядов Фурье для функции $f(t)$:

Рис. 2: $n = 1$ Рис. 3: $n = 2$ Рис. 4: $n = 4$ Рис. 5: $n = 7$ Рис. 6: $n = 11$ Рис. 7: $n = 50$

Как мы видим, ряды Фурье $F_n(t)$ и $G_n(t)$:

- во-первых, совпадают;
- во-вторых, шедеврально;
- в-третьих, вполне неплохо аппроксимируют функцию $f(t)$ уже при $n = 7$;
- и, наконец, разница, без учёта эффекта Гиббса практически незаметна при $n = 50$.

Чтобы убедиться в том, что при $n = 50$ ряд Фурье действительно хорошо приближается к функции $f(t)$, проверим равенство Парсеваля при этом же количестве коэффициентов и при $n = 1$ — так мы увидим разницу.

```
1 Parseval deviation:
2 | |f|^2 - sum(|a_i|^2 + |b_i|^2) | = 1.35317
3 | |f|^2 - sum(|c_i|^2) | = 1.35317
```

Листинг 3: Равенство Парсеваля при $n = 1$

```
Parseval deviation:
| |f|^2 - sum(|a_i|^2 + |b_i|^2) | = 0.01964
| |f|^2 - sum(|c_i|^2) | = 0.01964
```

Листинг 4: Равенство Парсеваля при $n = 50$

Мы наблюдаем, что отклонение в равенстве Парсеваля с увеличением количества коэффициентов стремится к нулю. Это означает, что ряд Фурье действительно приближается к функции $f(t)$ всё лучше и лучше.

Время чётных функций!

Теперь рассмотрим чётную периодическую функцию $f(x) = |2 \sin x|$ на отрезке $[0, \pi]$ — брать чистый синус со стандартным промежутком не интересно, а так будет хоть какое-то разнообразие. И, конечно, построим график этой функции.

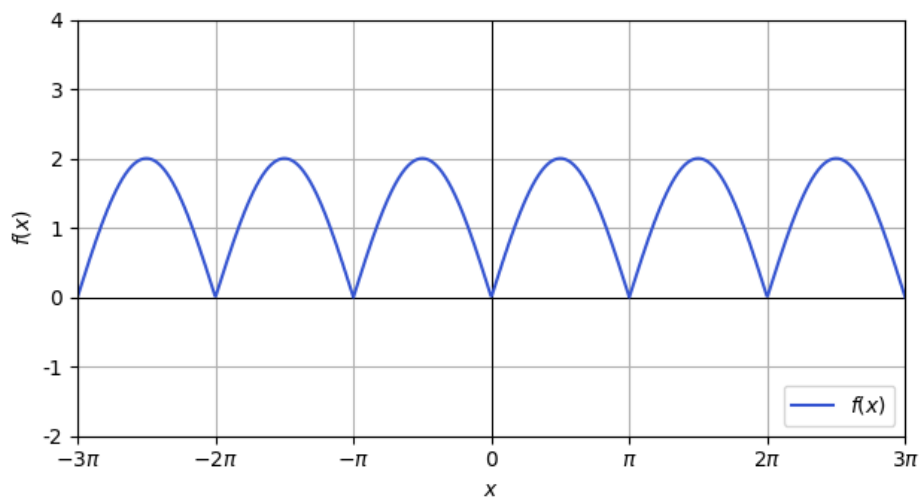


Рис. 8: График функции $f(x)$

Период функции $f(x)$ равен $T = \pi \Rightarrow \omega_n = 2n$. И снова настало время найти коэффициенты Фурье теперь для этой функции, но мы стали умными и у нас есть код, поэтому пускай за нас всё делает машина ;)

Однако же не будет лишним привести формулу для вычисления коэффициентов. Для чётной функции $f(x)$ коэффициенты b_n равны нулю и ряд Фурье строится по косинусам. Таким образом, коэффициенты a_n и c_n в общем виде вычисляются следующим образом:

$$a_n = \frac{2}{\pi} \int_0^{\pi} |2 \sin x| \cos 2nx \, dx \quad c_n = \frac{1}{\pi} \int_0^{\pi} |2 \sin x| e^{-2inx} \, dx$$

Снова немножко кодим...

Изменим программу, которая вычисляет коэффициенты Фурье самостоятельно для любого n , под нашу функцию.

```

1 ...
2
3 def f(x):
4     """Функция, для которой вычисляются коэффициенты Фурье."""
5     return np.vectorize(lambda x: 2*np.abs(np.sin(x)))(x)
6
7 ...

```

Листинг 5: Вычисление коэффициентов Фурье для функции $|2 \sin x|$

Программа вновь выводит нам первые шесть коэффициентов Фурье, среди которых есть и необходимые по заданию a_3 , b_3 и c_3 :

```

1 a_0 = 2.547,      b_0 = 0.0,      c_0 = (1.273+0j)  c_0 = (1.273+0j)
2 a_1 = -0.849,    b_1 = 0.0,      c_1 = (-0.425+0j) c_1 = (-0.425-0j)
3 a_2 = -0.169,    b_2 = -0.0,     c_2 = (-0.085+0j) c_2 = (-0.085-0j)
4 a_3 = -0.073,    b_3 = -0.0,     c_3 = (-0.037-0j) c_3 = (-0.037+0j)
5 a_4 = -0.04,     b_4 = 0.0,      c_4 = (-0.02-0j)  c_4 = (-0.02+0j)
6 a_5 = -0.026,    b_5 = -0.0,     c_5 = (-0.013-0j) c_5 = (-0.013+0j)

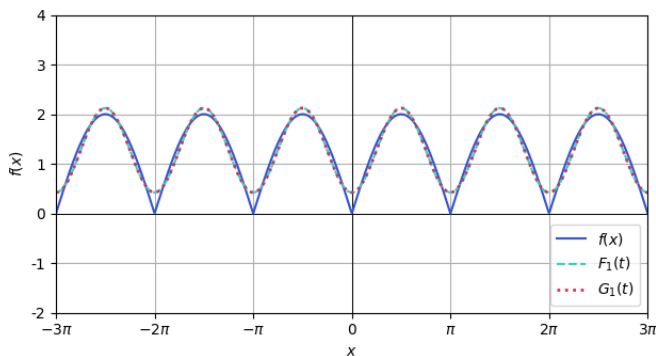
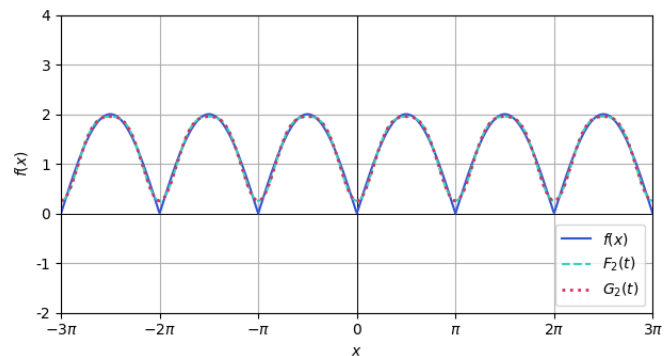
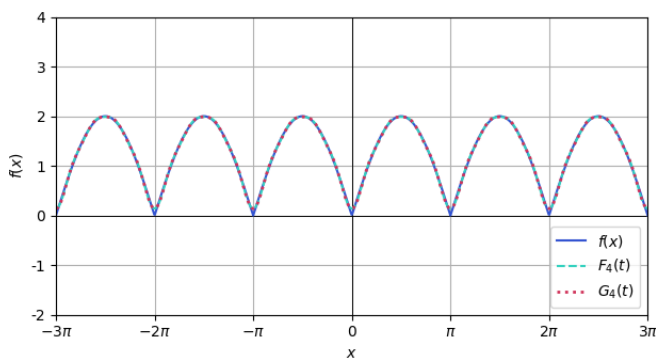
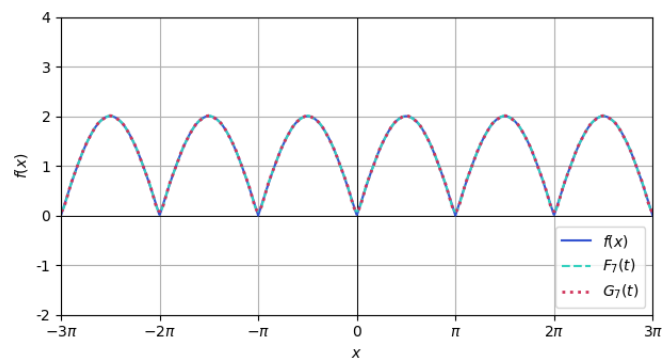
```

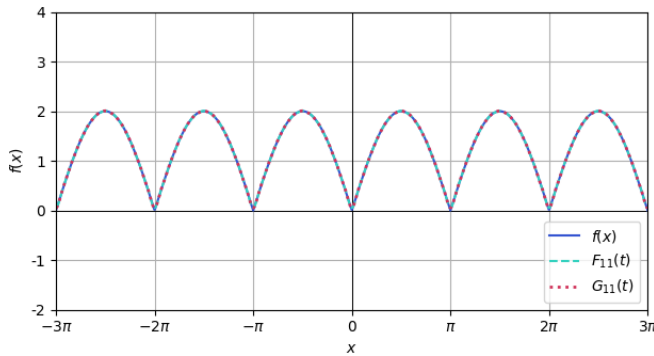
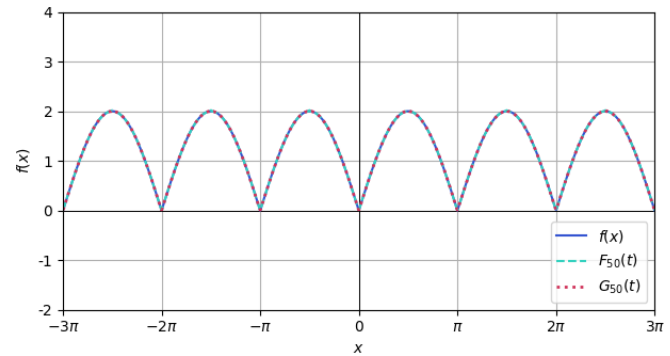
Листинг 6: Вывод программы

Убеждаемся, что, действительно, коэффициенты b_n равны нулю.

Рисуем графики!

Воспользуемся этими коэффициентами для построения графиков тригонометрического F_n и экспоненциального G_n рядов Фурье для функции $f(x)$:

Рис. 9: $n = 1$ Рис. 10: $n = 2$ Рис. 11: $n = 4$ Рис. 12: $n = 7$

Рис. 13: $n = 11$ Рис. 14: $n = 50$

И вновь графики рядов Фурье $F_n(x)$ и $G_n(x)$ совпадают и хорошо аппроксимируют функцию $f(x)$. Ввиду простоты функции $f(x)$, разница между графиками рядов Фурье и функции практически незаметна даже при $n = 4$. Более того, не наблюдается эффекта Гиббса, т.к. у функции нет разрывов.

Чтобы убедиться в том, что при $n = 50$ ряд Фурье действительно аппроксимирует функцию $f(x)$ довольно точно, проверим равенство Парсеваля при этом же количестве коэффициентов и при $n = 1$ — так мы увидим разницу.

```
1 Parseval deviation:
2 | |f|^2 - sum(|a_i|^2 + |b_i|^2) | = 2.38045
3 | |f|^2 - sum(|c_i|^2) | = 2.38045
```

Листинг 7: Равенство Парсеваля при $n = 1$

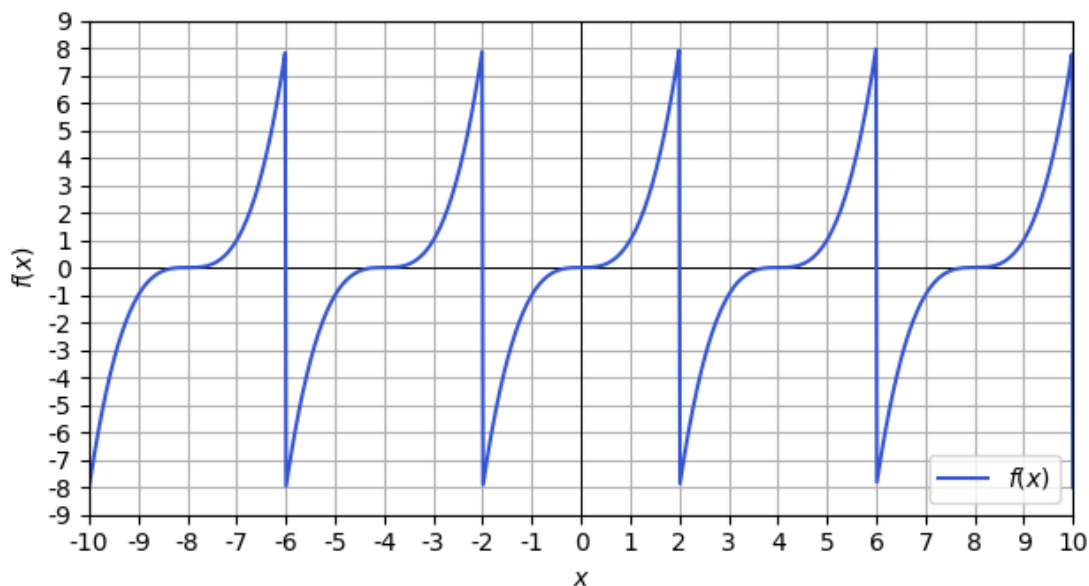
```
Parseval deviation:
| |f|^2 - sum(|a_i|^2 + |b_i|^2) | = 0.00003
| |f|^2 - sum(|c_i|^2) | = 0.00003
```

Листинг 8: Равенство Парсеваля при $n = 50$

Мы наблюдаем, что отклонение в равенстве Парсеваля с увеличением количества коэффициентов стремится к нулю. Это означает, что ряд Фурье действительно приближается к функции $f(x)$ всё лучше и лучше.

Ты чего такой нечётный?

Настал черёд нечётной периодической функцию $f(x) = ((x - 2) \bmod 4 - 2)^3$ на отрезке $[-2, 2]$. Кто бы мог подумать, что для периодичности кубического корня нужно так усложнять аргумент внутри? Но это всё лирика, поэтому давайте уже строить график функции.

Рис. 15: График функции $f(x)$

Период функции $f(x)$ равен $T = 4 \Rightarrow \omega_n = n\pi/2$. Вновь найдём коэффициенты Фурье для функции с помощью уже написанной нами ранее программы, но перед этим посмотрим на интегралы. Для нечётной функции $f(x)$ коэффициенты a_n равны нулю и ряд Фурье строится по синусам. Таким образом, коэффициенты b_n и c_n в общем виде вычисляются следующим образом:

$$b_n = \frac{1}{2} \int_{-2}^2 ((x-2) \bmod 4 - 2)^3 \sin \frac{n\pi x}{2} dx \quad c_n = \frac{1}{4} \int_{-2}^2 ((x-2) \bmod 4 - 2)^3 e^{-in\pi x/2} dx$$

Опять коди́м одну строчку

Изменим программу, которая вычисляет коэффициенты Фурье самостоятельно для любого n , под нашу функцию.

```

1 ...
2
3 def f(x):
4     """Функция, для которой вычисляются коэффициенты Фурье."""
5     return np.vectorize(lambda x: ((x - 2) % 4 - 2) ** 3)(x)
6
7 ...

```

Листинг 9: Вычисление коэффициентов Фурье для функции $f(x)$

Программа вновь выводит нам первые шесть коэффициентов Фурье, среди которых есть и необходимые по заданию a_3 , b_3 и c_3 :

```

1 a_0 = -0.0,      b_0 = 0.0,      c_0 = (-0+0j)   c_0 = (-0.002+0j)
2 a_1 = 0.0,      b_1 = 1.997,     c_1 = (0-0.998j) c_-1 = (0.002+0.998j)
3 a_2 = -0.0,     b_2 = -2.159,    c_2 = (-0+1.08j) c_-2 = (-0.002-1.08j)
4 a_3 = 0.0,      b_3 = 1.583,     c_3 = (0.002-0.791j) c_-3 = (0.002+0.791j)
5 a_4 = -0.0,     b_4 = -1.225,    c_4 = (-0+0.612j) c_-4 = (-0.002-0.612j)
6 a_5 = 0.0,      b_5 = 0.994,     c_5 = (0-0.497j) c_-5 = (0.002+0.497j)

```

Листинг 10: Вывод программы

Убеждаемся в том, что, действительно, коэффициенты a_n равны нулю.

И снова любимся на рисунки!

Воспользуемся этими коэффициентами для построения графиков тригонометрического F_n и экспоненциального G_n рядов Фурье для функции $f(x)$:

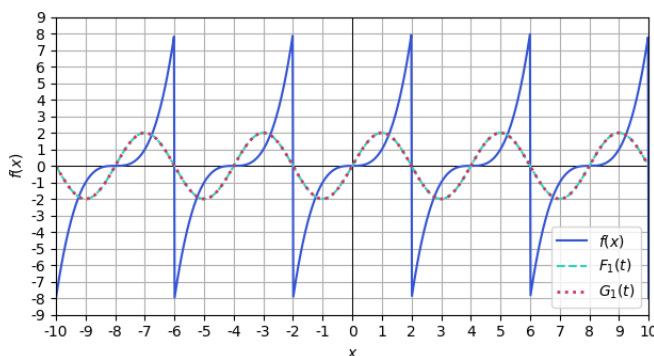


Рис. 16: $n = 1$

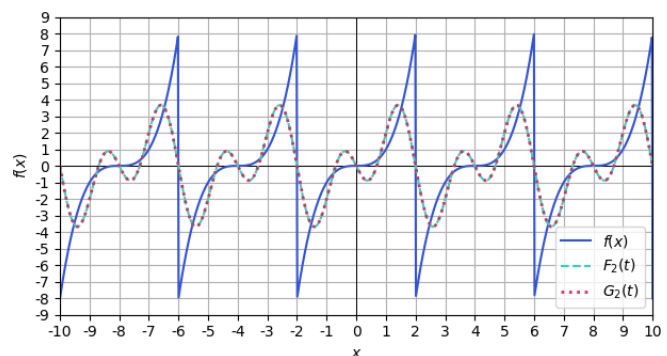
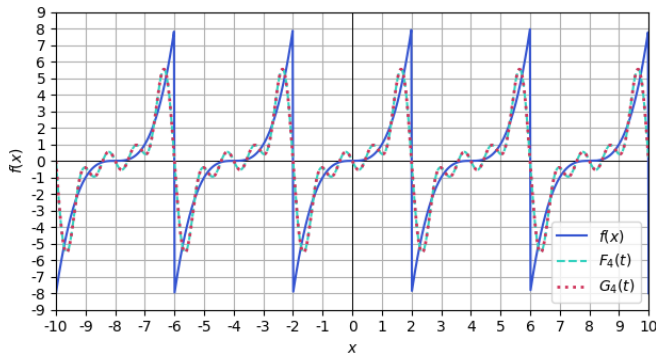
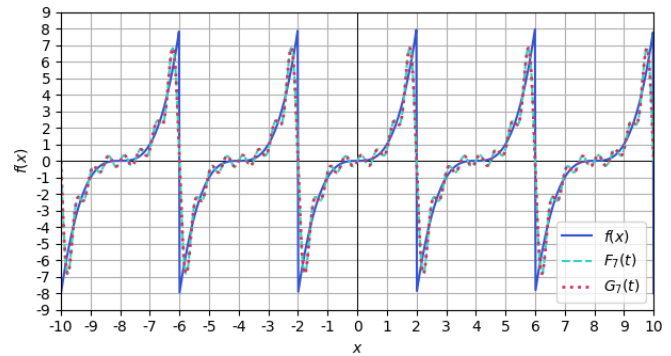
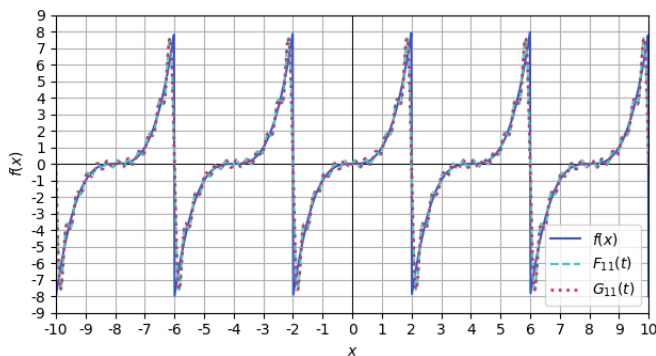
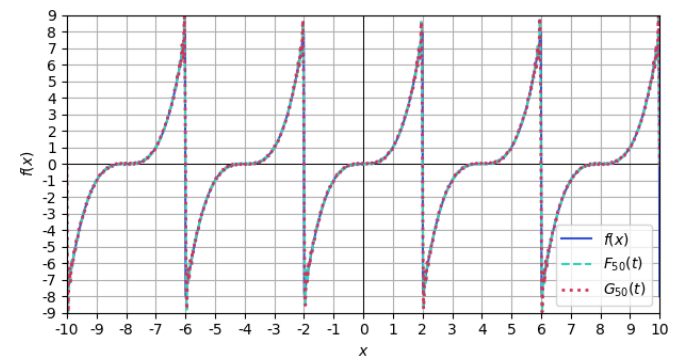


Рис. 17: $n = 2$

Рис. 18: $n = 4$ Рис. 19: $n = 7$ Рис. 20: $n = 11$ Рис. 21: $n = 50$

Графики рядов Фурье $F_n(x)$ и $G_n(x)$ совпадают и хорошо приближаются к функции $f(x)$ при $n > 7$. Также не наблюдается эффекта Гиббса, т.к. у функции имеется разрыв только по вертикальной асимптоте.

Чтобы убедиться в том, что при $n = 50$ ряд Фурье аппроксимирует функцию $f(x)$ очень точно, проверим равенство Парсеваля при этом же количестве коэффициентов и при $n = 1$ — так мы увидим разницу.

```
1 Parseval deviation:
2 | |f|^2 - sum(|a_i|^2 + |b_i|^2) | = 23.80626
3 | |f|^2 - sum(|c_i|^2) | = 23.80626
```

Листинг 11: Равенство Парсеваля при $n = 1$

```
Parseval deviation:
| |f|^2 - sum(|a_i|^2 + |b_i|^2) | = 0.00068
| |f|^2 - sum(|c_i|^2) | = 0.00068
```

Листинг 12: Равенство Парсеваля при $n = 50$

Мы наблюдаем, что отклонение в равенстве Парсеваля с увеличением количества коэффициентов стремится к нулю. Это означает, что ряд Фурье действительно представляет функцию $f(x)$ всё лучше и лучше.

Ты вообще с какого района, чушпан?

Наконец, рассмотрим периодическую функцию, являющуюся ни чётной, ни нечётной — в студии $f(x) = (x/\pi \bmod 2)^2$ на отрезке $[0, 2\pi]$ — а вот это будет интересно... И, по традиции, построим график этой функции.

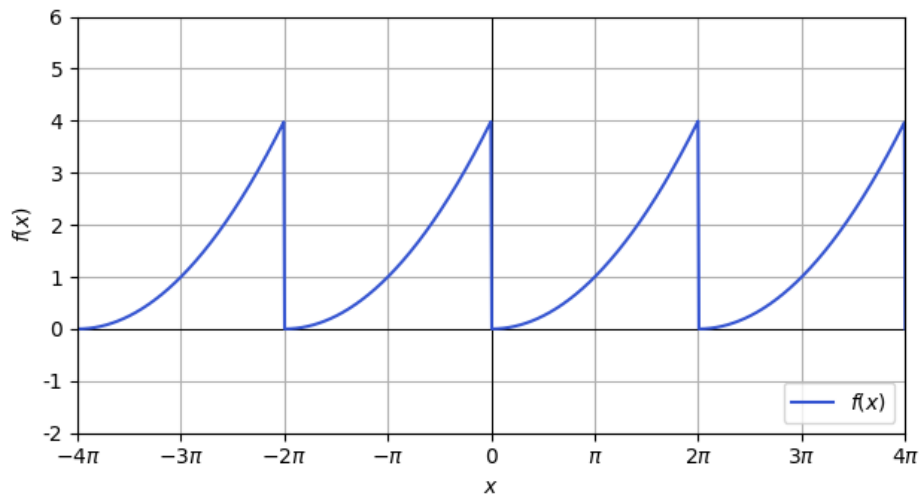


Рис. 22: График функции $f(x)$

Период функции $f(x)$ равен $T = 2\pi \Rightarrow \omega_n = n$. Найдём коэффициенты Фурье для функции с помощью уже написанной программы, но перед этим взглянем на то, как вычисляются коэффициенты a_n , b_n и c_n в общем виде:

$$a_n = \frac{1}{\pi} \int_0^{2\pi} \left(\frac{x}{\pi} \bmod 2 \right)^2 \sin nx \, dx \quad b_n = \frac{1}{\pi} \int_0^{2\pi} \left(\frac{x}{\pi} \bmod 2 \right)^2 \cos nx \, dx \quad c_n = \frac{1}{2\pi} \int_0^{2\pi} \left(\frac{x}{\pi} \bmod 2 \right)^2 e^{-inx} \, dx$$

Немного помучаем машину...

Изменим в программе функцию, для которой вычисляются коэффициенты Фурье:

```

1 ...
2
3 def f(x):
4     """Функция, для которой вычисляются коэффициенты Фурье."""
5     return np.vectorize(lambda x: ((x / np.pi) % 2) ** 2)(x)
6
7 ...

```

Листинг 13: Вычисление коэффициентов Фурье для функции $f(x)$

Программа вновь выводит нам первые шесть коэффициентов Фурье, среди которых есть и необходимые по заданию a_3 , b_3 и c_3 :

```

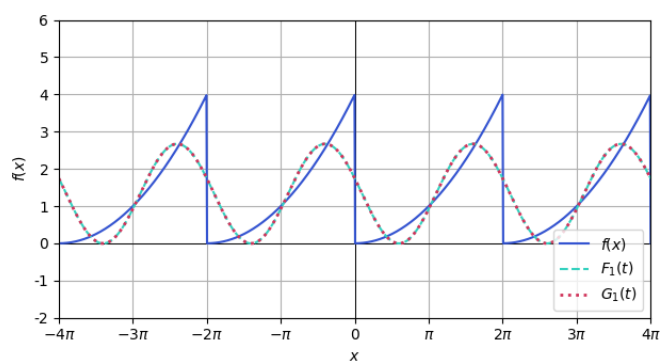
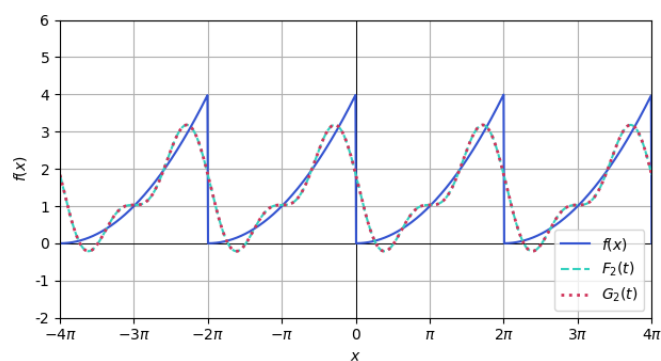
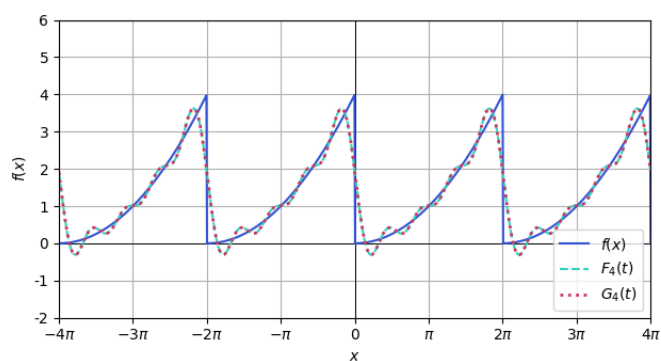
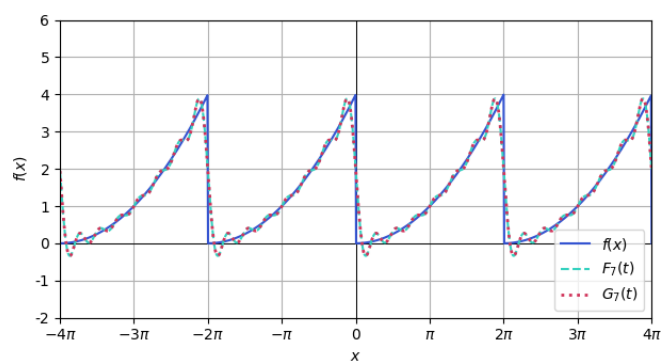
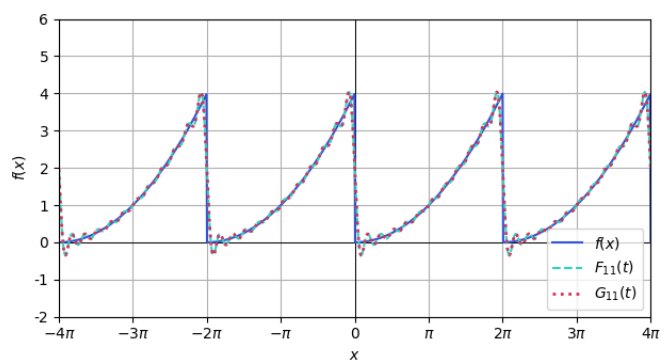
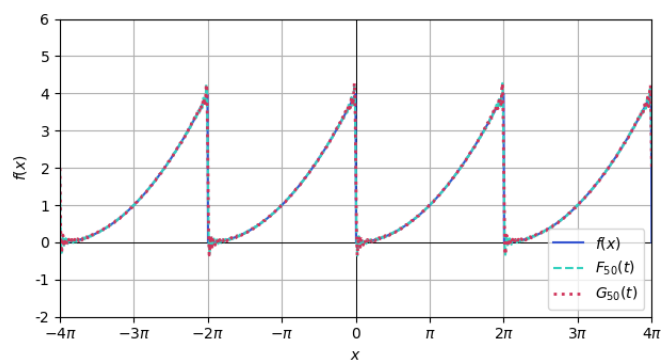
1 a_0 = 2.997,      b_0 = 0.0,      c_0 = (1.499+0j)      c_0 = (1.499+0j)
2 a_1 = 0.352,      b_1 = -1.736,   c_1 = (0.176+0.868j)  c_-1 = (0.176-0.868j)
3 a_2 = 0.041,      b_2 = -0.405,   c_2 = (0.021+0.203j)  c_-2 = (0.021-0.203j)
4 a_3 = 0.039,      b_3 = -0.579,   c_3 = (0.019+0.289j)  c_-3 = (0.019-0.289j)
5 a_4 = 0.01,       b_4 = -0.203,   c_4 = (0.005+0.101j)  c_-4 = (0.005-0.101j)
6 a_5 = 0.014,      b_5 = -0.347,   c_5 = (0.007+0.174j)  c_-5 = (0.007-0.174j)

```

Листинг 14: Вывод программы

И что же получилось на графиках?

Воспользуемся этими коэффициентами для построения графиков тригонометрического F_n и экспоненциального G_n рядов Фурье для функции $f(x)$:

Рис. 23: $n = 1$ Рис. 24: $n = 2$ Рис. 25: $n = 4$ Рис. 26: $n = 7$ Рис. 27: $n = 11$ Рис. 28: $n = 50$

Графики рядов Фурье $F_n(x)$ и $G_n(x)$ совпадают и хорошо приближаются к функции $f(x)$ при $n > 7$ без учёта эффекта Гиббса, т.к. у функции имеется разрыв под углом.

Чтобы убедиться в том, что при $n = 50$ ряд Фурье аппроксимирует функцию $f(x)$ очень точно, проверим равенство Парсеваля при этом же количестве коэффициентов и при $n = 1$ — так мы увидим разницу.

```
1 Parseval deviation:
2 | |f|^2 - sum(|a_i|^2 + |b_i|^2) | = 3.32656
3 | |f|^2 - sum(|c_i|^2) | = 3.32656
```

Листинг 15: Равенство Парсеваля при $n = 1$

```
Parseval deviation:
| |f|^2 - sum(|a_i|^2 + |b_i|^2) | = 0.10021
| |f|^2 - sum(|c_i|^2) | = 0.10021
```

Листинг 16: Равенство Парсеваля при $n = 50$

Мы наблюдаем, что отклонение в равенстве Парсеваля с увеличением количества коэффициентов стремится к нулю. Это означает, что ряд Фурье действительно аппроксимирует функцию $f(x)$ всё лучше и лучше.

Задание №2. Комплексная функция vs. мозг читателя

Начнём новое задание, как и предыдущее, с небольшой теоретической справки. В прошлом задании мы говорили о представлении тригонометрического ряда Фурье с помощью e^{ix} — это форма ряда называется **комплексным рядом Фурье**. Давайте пройдём через преобразования, которые приведут нас от коэффициентов тригонометрического ряда a_n и b_n к коэффициентам комплексного ряда c_n . Для этого воспользуемся формулами Эйлера:

$$\cos x = \frac{e^{ix} + e^{-ix}}{2} \quad \sin x = \frac{e^{ix} - e^{-ix}}{2i}$$

И вот как будет выглядеть такое преобразование:

$$\begin{aligned} a \cos \omega t + b \sin \omega t &= a \left(\frac{e^{i\omega t} + e^{-i\omega t}}{2} \right) + b \left(\frac{e^{i\omega t} - e^{-i\omega t}}{2i} \right) = \frac{a}{2} (e^{i\omega t} + e^{-i\omega t}) - \frac{ib}{2} (e^{i\omega t} - e^{-i\omega t}) = \\ &= \frac{a - ib}{2} e^{i\omega t} + \frac{a + ib}{2} e^{-i\omega t} = c e^{i\omega t} + \bar{c} e^{-i\omega t} \end{aligned}$$

Отсюда и выясняется причина, по которой комплексный ряд Фурье раскладывается в обе стороны от нуля — одна пара (a_n, b_n) даёт два коэффициента (c_n, c_{-n}) , которые двигаются в противофазе. И поэтому в предыдущем задании для вещественных функций мы также рассматривали ряд G_n .

Говоря о комплексных функциях, $f(t)$ подобна таковой, и поэтому представляется только в виде комплексного ряда Фурье, который выглядит следующим образом:

$$f(t) = \sum_{n=-\infty}^{\infty} c_n e^{i\omega_n t}, \text{ где } \omega_n = \frac{2\pi n}{T}$$

Зададим $R = 2$ и $T = 8 \Rightarrow \omega = \pi/4$. И получим по заданию следующую комплекснозначную функцию, заданную параметрическим образом:

$$\operatorname{Re} f(t) = \begin{cases} 2, & t \in [-1, 1), \\ -2t + 4, & t \in [1, 3), \\ -2, & t \in [3, 5), \\ 2t - 12, & t \in [5, 7), \end{cases} \quad \operatorname{Im} f(t) = \begin{cases} 2t, & t \in [-1, 1), \\ 2, & t \in [1, 3), \\ -2t + 8, & t \in [3, 5), \\ -2, & t \in [5, 7). \end{cases}$$

График функции $f(t)$ обозначим на комплексной плоскости:

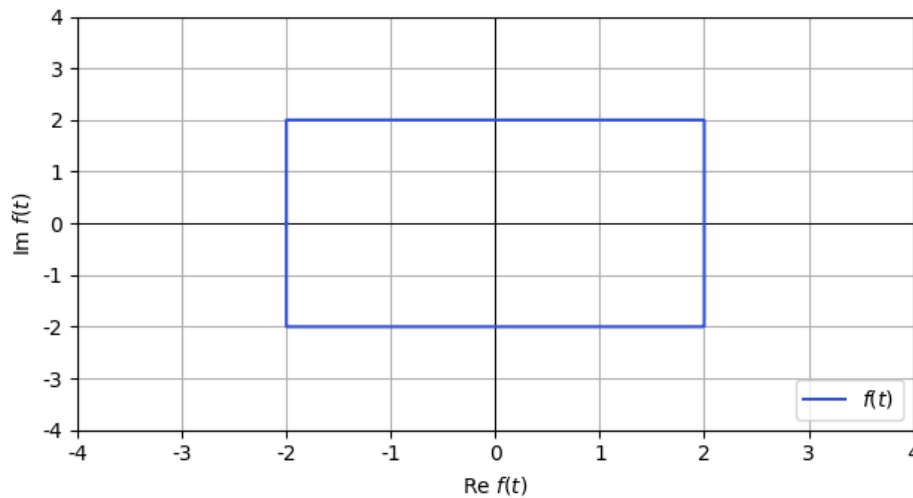


Рис. 29: График функции $f(t)$

Получаем вот такой скромненький квадратик на комплексной плоскости — он пока одинок, но скоро обрестёт интересными подробностями ;)

Самое скучное — вы не разучились считать интегральчики?

Теперь найдём коэффициенты Фурье c_n для этой функции, которые в общем виде вычисляются так:

$$c_n = \frac{1}{8} \int_{-1}^7 f(t) e^{-i \frac{\pi n}{4} t} dt = \frac{1}{8} \left(\int_{-1}^1 (2 + 2ti) e^{-i \frac{\pi n}{4} t} dt + \int_1^3 (-2t + 4 + 2i) e^{-i \frac{\pi n}{4} t} dt + \right. \\ \left. + \int_3^5 (-2 + 8i - 2ti) e^{-i \frac{\pi n}{4} t} dt + \int_5^7 (2t - 12 - 2i) e^{-i \frac{\pi n}{4} t} dt \right)$$

И эту громадину придётся вычислять? Конечно, да! Вычислим вручную c_0 , c_1 , c_2 :

$$c_0 = \int_{-1}^1 \frac{(2 + 2ti)}{8} dt + \int_1^3 \frac{(-2t + 4 + 2i)}{8} dt + \int_3^5 \frac{(-2 + 8i - 2ti)}{8} dt + \int_5^7 \frac{(2t - 12 - 2i)}{8} dt = \frac{1}{8} (4 + 4i - 4 - 4i) = 0$$

$$c_1 = \int_{-1}^1 \frac{(2 + 2ti)}{8} e^{-i \frac{\pi}{4} t} dt + \int_1^3 \frac{(-2t + 4 + 2i)}{8} e^{-i \frac{\pi}{4} t} dt + \int_3^5 \frac{(-2 + 8i - 2ti)}{8} e^{-i \frac{\pi}{4} t} dt + \int_5^7 \frac{(2t - 12 - 2i)}{8} e^{-i \frac{\pi}{4} t} dt = \\ = \frac{1}{8} \left(4 \cdot \frac{32\sqrt{2}}{\pi^2} \right) = \frac{16\sqrt{2}}{\pi^2}$$

$$c_2 = \int_{-1}^1 \frac{(2 + 2ti)}{8} e^{-i \frac{\pi}{2} t} dt + \int_1^3 \frac{(-2t + 4 + 2i)}{8} e^{-i \frac{\pi}{2} t} dt + \int_3^5 \frac{(-2 + 8i - 2ti)}{8} e^{-i \frac{\pi}{2} t} dt + \int_5^7 \frac{(2t - 12 - 2i)}{8} e^{-i \frac{\pi}{2} t} dt = \\ = \frac{1}{8} \left(\frac{8}{\pi} + \frac{16i}{\pi^2} - \frac{8i}{\pi} - \frac{16i}{\pi^2} - \frac{8}{\pi} - \frac{16i}{\pi^2} + \frac{8i}{\pi} + \frac{16i}{\pi^2} \right) = 0$$

Что необычно, коэффициент c_0 равен нулю, хотя на комплексной плоскости хорошо видно, что функция поднята на графике — это из-за того, что мы рассматриваем не оси XOY , а комплексную плоскость.

Самое приятное — код всё сделает за нас

Воспользуемся программой, которая вычисляет коэффициенты Фурье самостоятельно для любого n , чтобы найти требуемый в задании коэффициент c_3 для функции $f(t)$. Программа уже написана, поэтому мы просто вставим в неё нашу функцию и запустим её, чтобы получить коэффициенты:

```

1 ...
2
3 def f(x):
4     """Функция, для которой вычисляются коэффициенты Фурье."""
5     def create_parametric_func(R, T):
6         """Возвращает параметрическую функцию с заданными R и T."""
7
8         def pfunc_instance(t):
9             """Чистый экземпляр параметрической функции."""
10            t = (t + T / 8) % T - T / 8
11            if -T / 8 <= t < T / 8:
12                real = R
13            elif T / 8 <= t < 3 * T / 8:
14                real = 2 * R - 8 * R * t / T
15            elif 3 * T / 8 <= t < 5 * T / 8:
16                real = -R
17            elif 5 * T / 8 <= t <= 7 * T / 8:
18                real = -6 * R + 8 * R * t / T
19
20            if -T / 8 <= t < T / 8:
21                imag = 8 * R * t / T
22            if T / 8 <= t < 3 * T / 8:
23                imag = R
24            if 3 * T / 8 <= t < 5 * T / 8:
25                imag = 4 * R - 8 * R * t / T
26            if 5 * T / 8 <= t <= 7 * T / 8:
27                imag = -R
28
29            return real + 1j * imag
30
31        return pfunc_instance
32
33    return create_parametric_func(2, 8)
34
35 ...

```

Листинг 17: Вычисление коэффициентов Фурье для функции $f(t)$

Итак, программа выдаёт нам первые 5 коэффициентов:

```

1 a_0 = (-0-0j),          b_0 = 0j,          c_0 = (-0-0j)   c_-0 = (-0-0j)
2 a_1 = (2.293+0j),        b_1 = (-0+2.293j),      c_1 = (2.293+0j)   c_-1 = 0j
3 a_2 = (-0-0j),          b_2 = (-0-0j),          c_2 = (-0-0j)   c_-2 = (-0-0j)
4 a_3 = (-0.254+0j),       b_3 = 0.255j,          c_3 = -0j        c_-3 = (-0.255+0j)
5 a_4 = (-0-0j),          b_4 = (-0+0j),          c_4 = (-0-0j)   c_-4 = (-0-0j)
6 a_5 = (-0.091-0j),       b_5 = -0.092j,          c_5 = (-0.092-0j) c_-5 = -0j

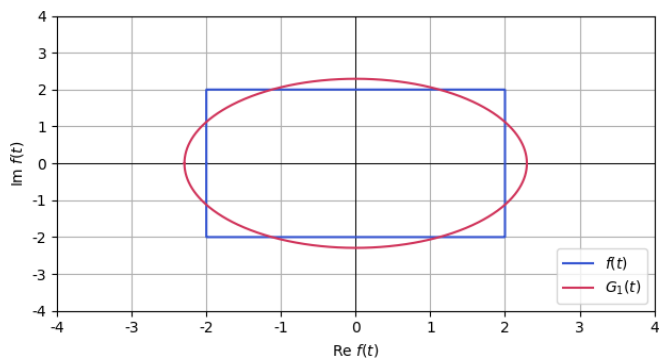
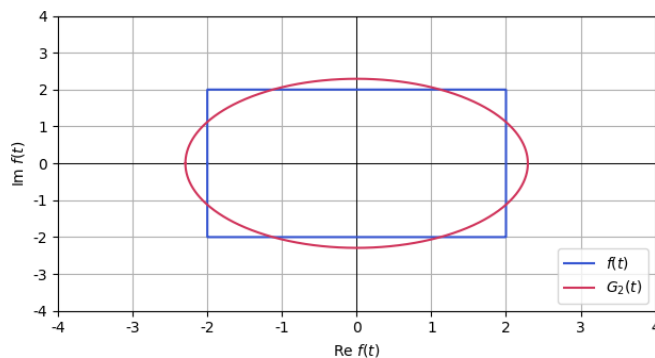
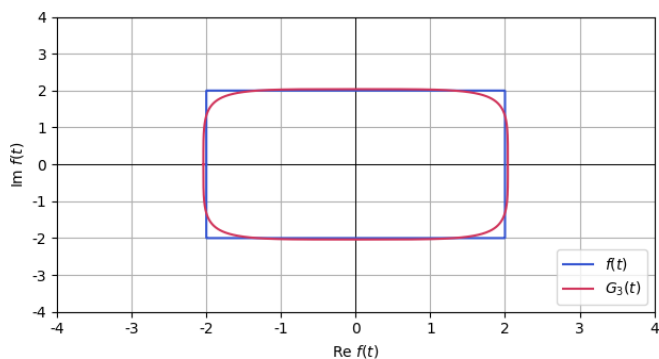
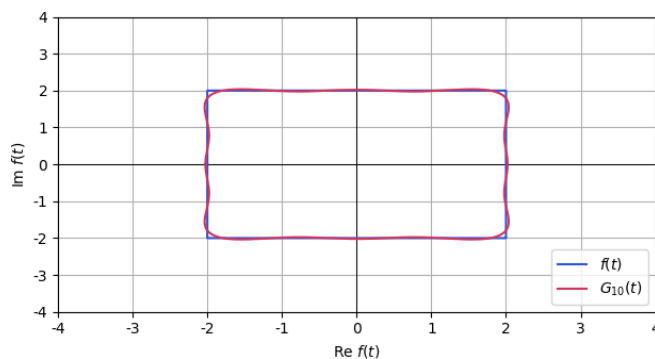
```

Листинг 18: Вывод программы

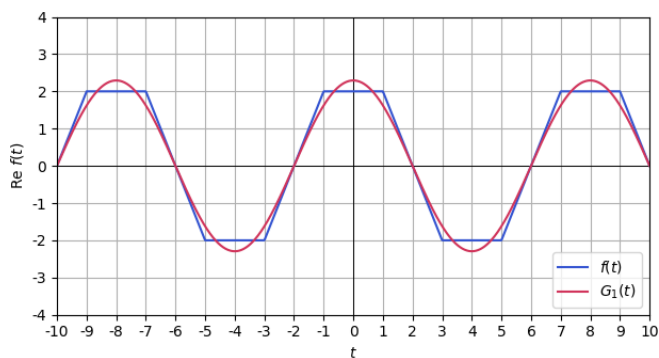
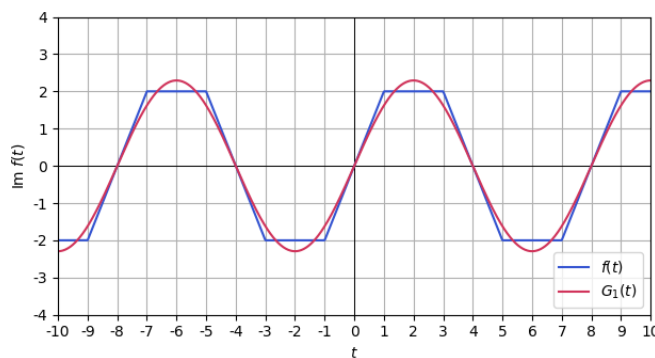
Мы видим, что коэффициент c_3 равен нулю, как и большинство коэффициентов c_n и c_{-n} .

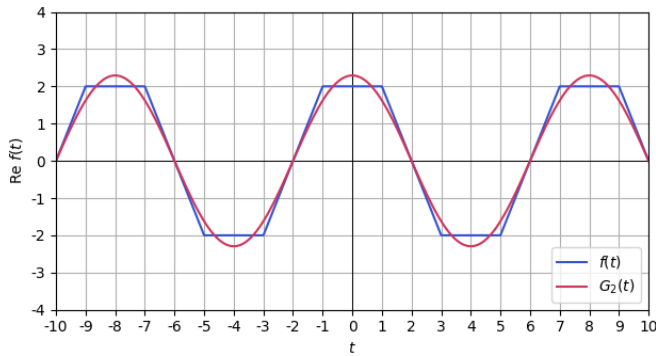
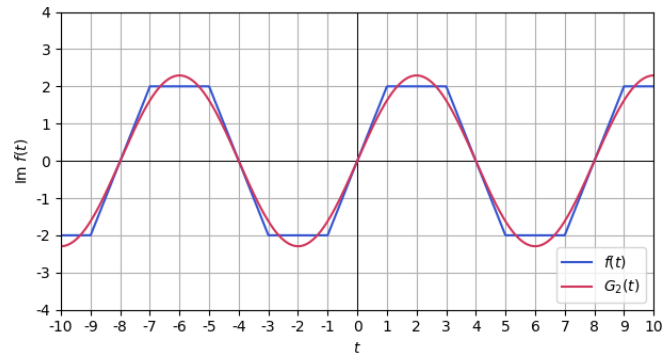
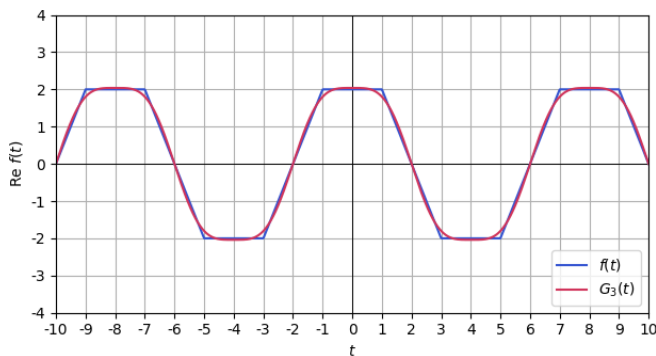
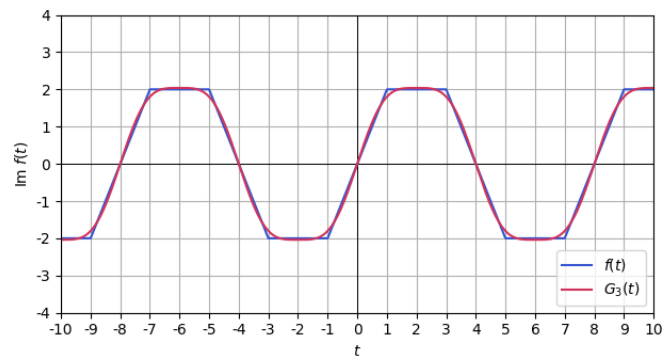
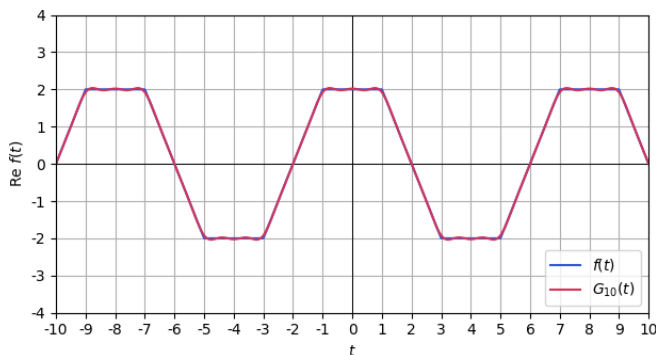
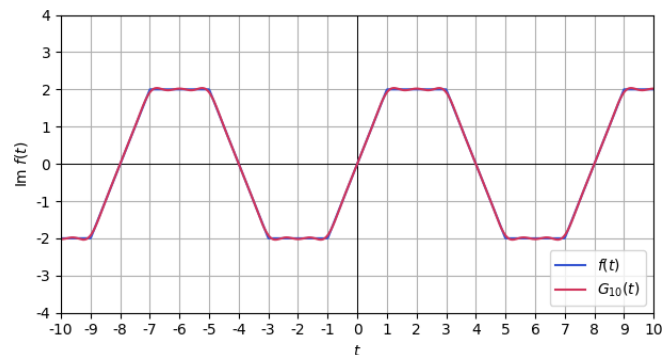
Самое интересное — красивые графики!

Уже не терпится взглянуть, как комплексный ряд Фурье представляет наш квадратик. Построим графики для различных первых n коэффициентов:

Рис. 30: $n = 1$ Рис. 31: $n = 2$ Рис. 32: $n = 3$ Рис. 33: $n = 10$

Начиная с первых значений, вокруг квадрата формируется круг, который становится с увеличением гармоник всё больше похож на квадрат. Мы убедимся в этом ещё раз, построив уже другие графики, где на абсциссе отложим t , а по ординате отложим сначала вещественные части $f(t)$ и $G_n(t)$, а затем мнимые части этих же функций.

Рис. 34: $Re \quad n = 1$ Рис. 35: $Im \quad n = 1$

Рис. 36: $Re \quad n = 2$ Рис. 37: $Im \quad n = 2$ Рис. 38: $Re \quad n = 3$ Рис. 39: $Im \quad n = 3$ Рис. 40: $Re \quad n = 10$ Рис. 41: $Im \quad n = 10$

Действительно, по графикам мы приходим к выводу, что $G_n(t)$ аппроксимирует исходную параметрическую комплекснозначную функцию $f(t)$, как в её действительной, так и в мнимой.

Чтобы убедиться в том, что при $n = 10$ ряд Фурье очень точен к функции $f(t)$, проверим равенство Парсеваля при этом же количестве коэффициентов и при $n = 1$ — так мы увидим разницу.

```
1 Parseval deviation:
2 | |f|^2 - sum(|a_i|^2 + |b_i|^2) | = 0.42457
3 | |f|^2 - sum(|c_i|^2) | = 0.42457
```

Листинг 19: Равенство Парсеваля при $n = 1$

```
Parseval deviation:
| |f|^2 - sum(|a_i|^2 + |b_i|^2) | = 0.00146
| |f|^2 - sum(|c_i|^2) | = 0.00146
```

Листинг 20: Равенство Парсеваля при $n = 10$

Мы наблюдаем, что отклонение в равенстве Парсеваля с увеличением количества коэффициентов стремится к нулю. Это означает, что ряд Фурье действительно приближается к функции $f(t)$ всё лучше и лучше.

Подводим выводы, подытоживаем итоги

В ходе выполнения лабораторной работы мы научились находить коэффициенты Фурье для различных функций и выяснили, что ряд Фурье может раскладываться как тригонометрически, так и комплексно.

Также пришли к выводу, что ряд Фурье раскладывается по разному в зависимости от чётности функции, и в нём могут отсутствовать как косинусы, если функция нечётная, так и синусы, если функция чётная, но в противном случае и в общем виде ряд Фурье раскладывается и по косинусам, и по синусам.

Мы убедились в том, что с увеличением количества членов ряда Фурье ряд превосходно аппроксимирует исходную функцию — это подтверждается как графически (мы наблюдали множество графиков, где с ростом количества суммируемых членов ряда Фурье наблюдалась всё лучшая и лучшая аппроксимация этим рядом функции), так и аналитически с помощью равенства Парсеваля, который говорит нам, что квадрат нормы исходной функции равен сумме квадратов модулей всех коэффициентов ряда Фурье (с ростом количества коэффициентов отклонение от квадрата нормы функции в равенстве Парсеваля стремится к нулю).